

Éléments de correction: DS n°2 :

Problème 1: Q1. $f_i = \frac{1}{2\pi} \frac{d\varphi}{dt}$ où le signal temporel est de la forme

$s(t) \propto \cos(\varphi(t))$
ou \sin , c'est équivalent à $\varphi = \varphi \pm \frac{\pi}{2}$ près, $\pm \frac{\pi}{2}$ étant une cte ne modifiant

donc pas f_i . pour $e(t)$, $\varphi(t) = 2\pi f_0 t + 2\pi \alpha \cos(2\pi f t)$, $f_i = f_0 - 2\pi f \alpha \sin(2\pi f t)$

Q2. $w(t) = e(t) \times a(t) = E_0 \cos(2\pi f_m t) \times A \cos(2\pi f_0 t) \times k$

et $2\cos(a)\cos(b) = \cos(a+b) + \cos(a-b)$

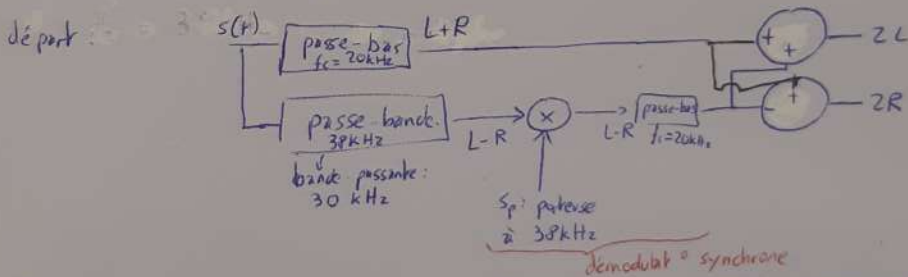
une constante, en V^{-1} pas grave
si oubliée, on raisonne sur w/E .

$$\begin{aligned} \frac{w(t)}{2AE_0k} &= \cos(2\pi(f_m+f_0)t) + \cos(2\pi(f_m-f_0)t) \\ &= \underbrace{\cos(2\pi(f_m+f_0)t)}_{\text{H.F. } (f_0 \gg 2\pi\alpha f)} + \underbrace{\cos(2\pi\alpha \cos(2\pi f t))}_{\text{B.F.}} \end{aligned}$$

Q3. On prend pour "?" un passe-bas de fréquence de coupure $< f_0$ et $> f \times 2\pi\alpha$. Pour $\frac{2\pi\alpha \ll 1$, alors $\cos(2\pi\alpha \cos(2\pi f t)) = 1 - \frac{(2\pi\alpha \cos(2\pi f t))^2}{2}$
non explicité, on regarde juste ce que ça donne \downarrow terme à $2f$ verser cte
un passe-bande de bande passante $]0; f]$ où $f < f' < f_0$ est aussi acceptable.

Q4. On pourrait recombinaison $L+R + L-R = 2L$ après avoir amené $L-R$
 $L+R - (L-R) = 2R$

dans la bonne gamme de fréquences. On note $s(t)$ le signal de départ.



il est acceptable d'ajouter des amplis pour compenser le du multiplieur.
ou le facteur 2 final.

Problème 2: Q5. $\text{div } \vec{E} = \frac{\rho}{\epsilon_0}$, $\forall S$ fermée $\oint_S \vec{E} \cdot d\vec{S} = \frac{Q_{\text{int}}}{\epsilon_0}$

Q6. On va appliquer le théorème de Gauss pour le fil infini de densité linéique de charge λ , centré sur P.

sym: $\forall M \in \mathbb{R}^3$, $(M, \vec{e}_z, \vec{e}_r)$ est Π^1 pour P donc Π^1 pour \vec{E}
 $(M, \vec{e}_r, \vec{e}_\theta)$ // // car fil ∞

d'où $\vec{E}(M) = E(r, \theta, z) \vec{e}_r$

invar: distribut° de charge invariante par translat° selon \vec{e}_z ou par rotat°
d'angle θ d'où $\vec{E} = \vec{E}(r) = E(r) \vec{e}_r$ pour conclure sur sym & invar

surf. de Gauss : on prend un cylindre fermé de rayon r et de longueur h , selon l'axe (Oy) .



Th. de Gauss: $\oint_S \vec{E} \cdot d\vec{S} = \frac{Q_{int}}{\epsilon_0}$. Le fait que $D \gg R$ et que seule

la distribut^o linéique de charge soit fournie incite à traiter le cas $r > R$ uniquement.

On a donc $\underbrace{0}_{\text{haut du cylindre, } \vec{E} \cdot d\vec{S} = 0} + \underbrace{0}_{\text{bas}} + E(r) \times 2\pi r h = \frac{\lambda h}{\epsilon_0}$ soit $E(r) = \frac{\lambda}{2\pi r \epsilon_0}$

or $\vec{r} = \vec{PM}$ d'où $\vec{E}(M) = \frac{\lambda}{2\pi \epsilon_0} \frac{\vec{PM}}{\|\vec{PM}\|^2}$.

si $r < R$ on aura $Q_{int} \propto r^2 h$ a priori (si ρ homogène) et donc $E(r) \propto r \equiv \|\vec{PM}\|$, l'expression qu'on a établie n'est donc vraie que pour M extérieur au fil.

Q7. $dV = -\vec{E} \cdot d\vec{r}$ (soit $a \in \mathbb{R}^+$ fixé) donc $V(r) - V(a) = \int_a^r dV = \int_a^r -\vec{E} \cdot d\vec{r}' = \int_r^a \vec{E} \cdot d\vec{r}'$

d'où $V(r) = \frac{\lambda}{2\pi \epsilon_0} \int_r^a \frac{dr'}{r'} \vec{e}_r \cdot \vec{e}_r = \frac{\lambda}{2\pi \epsilon_0} [\ln(a) - \ln(r)] = \frac{\lambda \ln(a)}{2\pi \epsilon_0} - \frac{\lambda}{2\pi \epsilon_0} \ln(\|\vec{PM}\|)$

Q8. Th. de Superposition: $V_{tot}(M) = V_p(M) + V_N(M) = \frac{\lambda \ln(a)}{2\pi \epsilon_0} - \frac{\lambda}{2\pi \epsilon_0} \ln(\|\vec{PM}\|) - \frac{\lambda \ln(b)}{2\pi \epsilon_0} + \frac{\lambda}{2\pi \epsilon_0} \ln(\|\vec{NM}\|)$

et $\|\vec{NM}\| = \sqrt{\vec{NM} \cdot \vec{NM}} = \sqrt{\|\vec{NO}\|^2 + \|\vec{OM}\|^2 + 2\|\vec{NO}\|\|\vec{OM}\|\cos\theta}$
 $= \sqrt{\frac{D^2}{4} + r^2 + Dr\cos\theta}$, $\|\vec{PM}\| = \sqrt{\frac{D^2}{4} + r^2 - Dr\cos\theta}$

soit $V(r, \theta) = \underbrace{C_0}_{\substack{= 0 \text{ car } \\ V \rightarrow 0 \\ r \rightarrow +\infty}} + \frac{\lambda}{4\pi \epsilon_0} \ln\left(\frac{D^2}{4} + r^2 + Dr\cos\theta\right) - \frac{\lambda}{4\pi \epsilon_0} \ln\left(\frac{D^2}{4} + r^2 - Dr\cos\theta\right)$
 $= \frac{\lambda}{4\pi \epsilon_0} \ln\left(\frac{\frac{D^2}{4} + r^2 + Dr\cos\theta}{\frac{D^2}{4} + r^2 - Dr\cos\theta}\right)$

Q9. À l'ordre 1 en $\frac{D}{r}$, $\frac{\frac{D^2}{4} + r^2 + Dr\cos\theta}{\frac{D^2}{4} + r^2 - Dr\cos\theta} \approx \frac{1 + \frac{D}{r}\cos\theta}{1 - \frac{D}{r}\cos\theta} \approx \left(1 + \frac{D}{r}\cos\theta\right)^2$
d'où $V(r, \theta) \approx \frac{\lambda}{4\pi \epsilon_0} \times 2 \ln\left(1 + \frac{D}{r}\cos\theta\right)$ et $\ln(1+x) \underset{x \rightarrow 0}{\approx} x$ d'où $V(r, \theta) \approx \frac{\lambda D}{2\pi \epsilon_0 r} \cos\theta$

Démonstration de conservation de la charge électrique en 1D

(5 points)

Démontrer l'équation de conservation de la charge électrique en 1D.

Le schéma ainsi que les notations, tant qu'elles sont explicitées, sont libres

Q10. $\vec{E} = -\vec{\nabla} V = -\left(\frac{\partial V}{\partial r} \vec{e}_r + \frac{1}{r} \frac{\partial V}{\partial \theta} \vec{e}_\theta + \frac{\partial V}{\partial \phi} \vec{e}_\phi\right)$

Réponse :

d'où $\vec{E} = \frac{\lambda D \cos \theta}{2\pi \epsilon_0 r^2} \vec{e}_r + \frac{\lambda D \sin \theta}{2\pi \epsilon_0 r^2} \vec{e}_\theta$

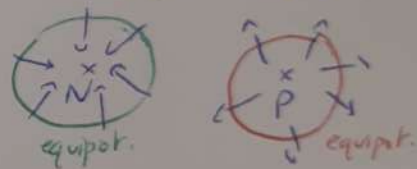
et $\|\vec{E}\| = \frac{\lambda D}{2\pi \epsilon_0 r^2}$, indépendant de θ

Q11. pour $r = h$, $E_0 \sim \frac{\lambda D}{2\pi \epsilon_0 h^2}$ (on suppose que l'approx. $D \gg R$ reste valable pour notre ordg). On a donc, avec $\lambda = \frac{2\pi \epsilon_0 V_0}{\ln(\frac{D}{R})}$, $E_0 \sim \frac{V_0 D}{h^2 \ln(\frac{D}{R})}$

$\frac{D}{R} \approx 167$ donc $\ln(\frac{D}{R}) \sim \ln(3 \times 3 \times 3 \times 3 \times 2) \approx \frac{\ln(3)}{\approx 1} + \frac{\ln(2)}{\approx 0.7} \approx 1.7$ le prendre de l'ordre de 1 ou 10 est ok.

$E_0 \sim \frac{V_0 D}{h^2 \times 5} \sim \frac{4 \times 10^5 \times 5}{5 \times 15 \times 15} \sim \frac{4 \times 10^5}{225} \sim 2 \times 10^3 \text{ V.m}^{-1}$

Q12. Oui, car les équipotentielles sont \perp aux lignes de champ, que l'on soit être selon \vec{e}_r pour la proximité d'un fil seul (quasi-cercles à proximité d'un des câbles)



Q13. On a $\vec{E} = -\vec{\nabla} V$ donc $\|\vec{E}\| \sim \frac{\tilde{V}}{\tilde{L}}$

avec \tilde{V} la variation caractéristique de tension sur une longueur \tilde{L}

Q14. On a $\sim 30 \text{ kV}$ étalés sur 10 m d'où 3 kV/m , c'est cohérent avec notre Q11. et respecte la réglementation.

Problème 3 : Q15. $\frac{\partial \rho}{\partial r} + \text{div } \vec{J} = 0$, en R.S. $\text{div } \vec{J} = 0$.

Q16. $\text{div } \vec{J} = 0 \Rightarrow \iiint_{V_{\text{quelconque}}} \text{div } \vec{J} dV = 0$ d'où (Th. Ostrogradski) $\oint \vec{J} \cdot d\vec{S} = 0$.

et donc \vec{J} est à flux conservatif.

Q17. On prend un bol (hémisphères) entre r et $r+dr$, on a donc, sachant $\vec{J} = J(r) \vec{e}_r$:

$0 = \oint_{\text{hémisphère}} \vec{J}(r) \cdot d\vec{S} + \oint_{\text{hémisphère } r+dr} \vec{J}(r+dr) \cdot d\vec{S} = 0$

avec I pris positif pour r croissant.



$-I(r)$ (dS pointe vers l'extérieur)

$I(r+dr)$

Q18. $j(r) \times 2\pi r^2 = I$, voir Q.17 pour le schéma.

$$j(r) = \frac{I}{2\pi r^2}$$

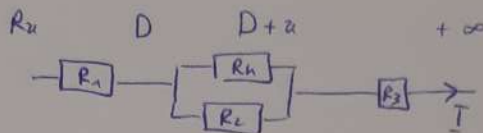
Q19. $\vec{J} = \gamma_s \vec{E}$

Q20. $\vec{E} = \frac{I}{2\pi r^2 \gamma_s} \vec{e}_r$, $V(r) - V(\infty) = - \int_{r \infty}^r \vec{E} \cdot d\vec{r} = \frac{I}{2\pi \gamma_s} \left(0 + \frac{1}{r}\right) = \frac{I}{2\pi \gamma_s r}$

Q21. ① $R = \frac{V}{I} = \frac{V(R_b) - V(R_a)}{I} = \frac{1}{2\pi \gamma_s} \left(\frac{1}{R_a} - \frac{1}{R_b}\right)$

② $R = \frac{1}{2\pi \gamma_s R_a}$

Q22. $a \approx 50 \text{ cm}$



On a $R_1 + R_2 + R_3 = \frac{1}{2\pi \gamma_s R_a}$

$$R_1 = \frac{1}{2\pi \gamma_s} \left(\frac{1}{R_a} - \frac{1}{D}\right) \quad R_2 = \frac{1}{2\pi \gamma_s} \left(\frac{1}{D} - \frac{1}{D+a}\right) \quad \text{et} \quad R_3 = \frac{1}{2\pi \gamma_s} \times \frac{1}{D+a}$$

$$\approx \frac{1}{1,8 \times 10^{-2}} \times \frac{a}{D^2}$$

on a $R_h I_{\max} = R_2 (I - I_{\max})$ d'où $\frac{R_h I_{\max}}{I - I_{\max}} = \frac{1}{2\pi \gamma_s} \left(\frac{1}{D} - \frac{1}{D+a}\right)$

et si par chance $a \ll D$ $\frac{R_h I_{\max}}{I - I_{\max}} \times 2\pi \gamma_s \approx \frac{a}{D^2}$ ou $D \approx \sqrt{\frac{a(I - I_{\max})}{R_h I_{\max} 2\pi \gamma_s}}$

Q23. $R = \frac{\rho}{\gamma_s}$ où $\rho_s = \frac{1}{\gamma_s} \Rightarrow \gamma_s \approx 3 \times 10^{-3} \Omega^{-1} \text{ m}^{-1}$

Q24. Si le sol est humide sa conductivité γ donc $D \uparrow$, la zone de danger maximal augmente.

Q25. $\gamma_m \sim 6 \times 10^7 \Omega^{-1} \text{ m}^{-1}$, $\frac{1}{\gamma_m}$ complètement négligeable devant $\frac{1}{\gamma_s}$, m humide.

Q26. $R = \frac{\rho}{\gamma_s} = \frac{2 \times 4}{6 \times 10^3 \times \pi \times 10^{-6}} = \frac{4}{10^2} = 0,04 \Omega$

Q26. I_{\max} entre 10mA et 1A est ok. $a \approx 50 \text{ cm}$, R_h entre 2 et 50 k Ω

disons $R_h = 10^4 \Omega$ $I_{\max} = 10^{-7} \text{ A}$, $D \approx \sqrt{\frac{0,5 \times 10^4}{10^4 \times 10^{-7} \times 6 \times 3 \times 10^{-3}}} \approx \sqrt{\frac{10^4}{40 \times 1}}$

15m \gg 50cm est plausible pour le DL de la

$$\approx \frac{\sqrt{10^3}}{2} \approx 15 \text{ m}$$

Q22. Autrement dit il faut éviter de se placer

sous un arbre, car dans un rayon de 15m autour du pt d'impact c'est dangereux.

Q27. En 1ère approx, on a $H^2 + D'^2 = D^2$ avec D' la nouvelle distance (car $a \ll D$).

de sécurité, inférieure. Si $H \gg D$, on doit raffiner en reprenant le calcul car alors il y a nettement moins que "a" pour R_2

Prénom :

IV - Annexe

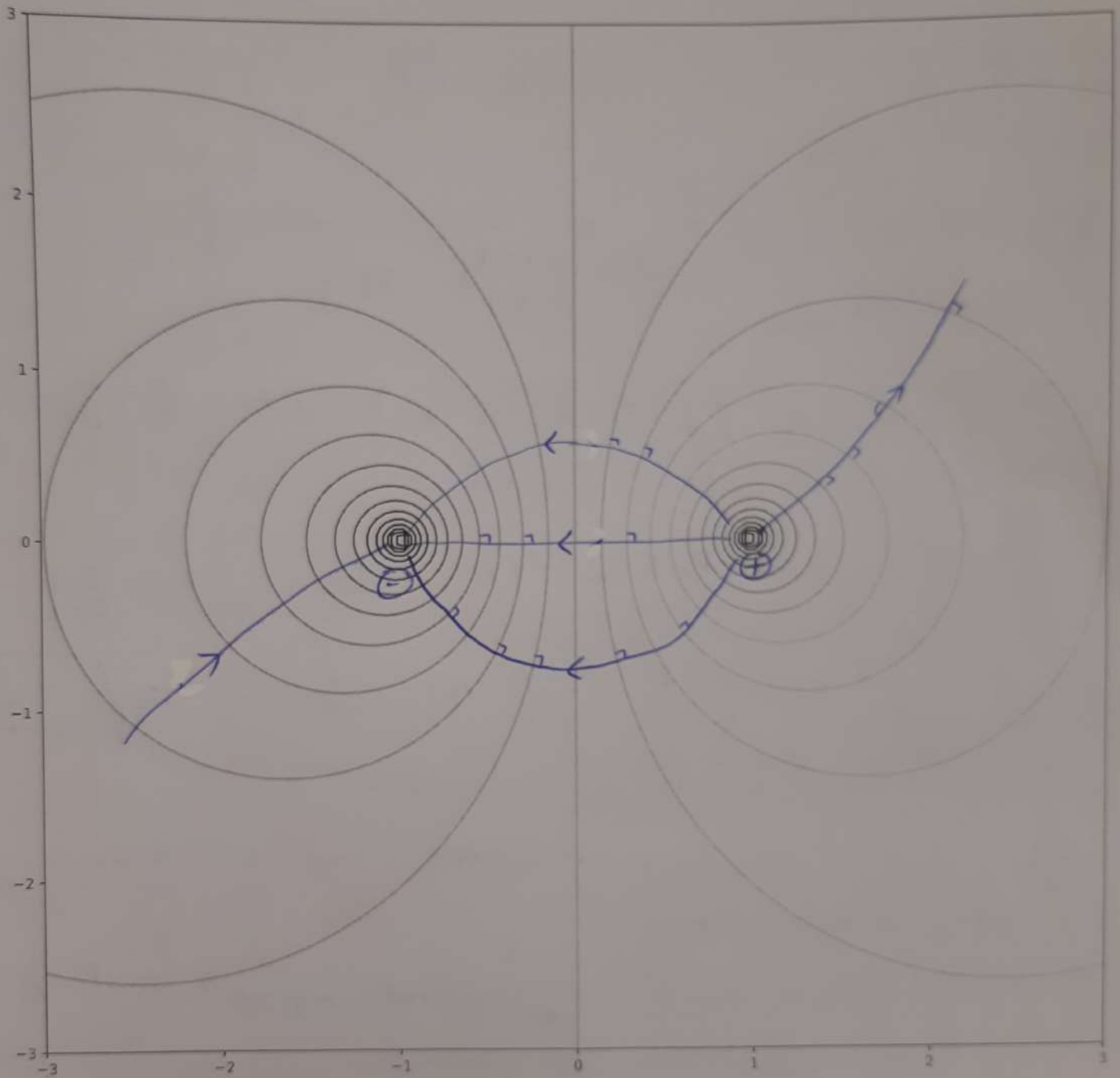
Annexe à détacher et à rendre avec votre copie

Fig. 3 – À un instant t , simulation des équipotielles entre les deux câbles chargés, le câble chargé négativement étant à gauche, et le câble chargé positivement étant à droite.